

자기 가넷박막 동적특성의 컴퓨터 시뮬레이션에 관한 연구

A study on the computer simulation of dynamic properties of
Magnetic Garnet Thin Films

* 김길상, 이은석, 최연봉, 한은심, 오민석, 조순철 송실대학교 전자공학과 자성재료 및 소자 연구실

Kil Sang Kim, Yun Seck Lee, Yeon Bong Choi,
Eun Sil Han, Min Seck Oh, Soon Chul Jo

Dept. of Electronics Eng., Magnetic Material
and Device Lab. Soongsil University

Abstract

This paper discusses dynamic properties of bubble garnet thin films. The dynamic properties considered are Gilbert damping parameters, saturation velocity, and wall mobility. The parameters are evaluated to facilitate the search for desirable garnet thin film compositions. Given bubble diameter and Q-value, the computer prints out all compositions which meet the desired requirements. The computer model determines magnetization, anisotropy, damping, velocity, mobility among others from the film compositions. The computer modeling program is described by an algorithm detailing its operation.

I. 서론

최근들어 자기 가넷 박막을 이용한 응용분야에 대해 관심이 높아지고있으며, 그 응용분야는 자기 버블 기억소자, 수직 Bloch line 기억소자, 광자기 기억소자, 광자기 디스크, 광통신 소자등이 있다. [1,2] 이러한 자기 가넷 박막의 동적특성은 자기 버블의 동적특성을 설명하는데 사용된다. 자기 가넷 박막의 동적 특성 속성을 구현하는데 액상성장법(Liquid Phase Epitaxy)으로 성장시키기 이전에 미리 원소 성분비에 따르는 동적 특성인 Gilbert Damping 파라메타, 포화속도, 자력(magnetic domain wall)이동도 그리고 자화강, Anisotropy 값등 자기적특성을 찾기 위해서 컴퓨터로 시뮬레이션하였다.

II. 본론

1. 동적 특성

버블의 동적인 특성을 설명하는데 중요한 파라메터는 Gyromagnetic 비례상수, Damping, 자력 이동도, 포화속도이다. Gyromagnetic 비례상수(γ)는 식 (1)로 표현할 수 있다.

$$\gamma = \frac{ge}{2\pi c} \quad \text{----- (1)}$$

여기서 e 는 전자의 전하량이며, c 는 광속도이다. γ 는 g 인자의 함수로서 설명할 수 있으며 Exchange constant 가 $2 \sim 4 [10^{-7} \text{erg/cm}]$ 범위와 0 값이 1.5 - 6 사이값일때 γ 는 보통 $1.8 \times 10^{-6} \text{e}^2/\text{S}^2$ 이다. Damping 값은 γ 를 사용하여 식 (2)로 표현 된다.

$$K = \frac{\alpha M_s}{\gamma} \quad \text{----- (2)}$$

여기서 α 는 Gilbert damping 파라메터이며, M_s 는 포화 자화이다. 자력 이동도는 식(3)에 의해서 나타낼 수 있다.

$$\mu_w = \frac{M_s}{K} \sqrt{\frac{A}{K_u}} \quad \text{----- (3)}$$

여기서 A 는 Exchange constant이며, K_u 는 Uniaxial anisotropy 이다. 자력 이동도에 실제적인 영향을 미치는 파라메터는 K 값이다. M_s, K_u 값의 변화가 작아서 자력 이동도에는 큰 영향을 미치지 못하며 실제적인 영향을 미치는 파라메터는 K 값이다.

이러한 이동도를 크게 하기 위해서는 X 값이 작은 희토류 원소에 Gd, Lu, Y (표 1 참조) 를 사용하여야 한다. 그렇지만 이러한 희토류 원소의 선택은 Anisotropy 에 큰 영향을 준다. 포화속도는 식 (4) 에 의해서 계산된다. [5]

$$V_0 = \frac{\gamma}{2} \sqrt{\frac{A}{Q}} \quad (4)$$

여기서 Q는 Quality factor 이다. 또한 여기서 Sm 과 Eu 의 damping 값을 보면, Eu 의 damping 값이 작아서 자력 이동도의 향상을 위해서 좋지 않은 Sm 을 선호하는 이유는 비틀림의 소자에서는 magnetostriction (λ_{111}) 값이 마이너스값을 가져야 하므로 Eu 보다 Sm 을 사용한다.

2. 동적특성 계산을 위한 자기특성

가넷 박막의 자기적 특성은 희토류 금속에 의해 크게 좌우되며 질 Site 는 magnetization 과 exchange 계수를 결정한다. [6] 한 종류 이상의 희토류 금속을 가진 가넷 (복합 희토류 가넷) 의 특성은 한 종류의 희토류 금속으로 구성되어 있는 가넷 (순수 희토류 가넷) 의 특성들을 linear extrapolation 방법으로 얻어진다. 표 1 은 순수 희토류 가넷들의 특성을 나타낸다. 따라서 복합 희토류 가넷의 특성은, 복합 희토류 가넷을 구성하는 각각의 희토류 원소들을 포함한 순수 희토류 가넷들의 특성을 그들의 구성비율에 따라 weight 를 주어 합한 값으로 나타내어진다.

RE	4m _s Gauss	T _{curie} °C	(RE ₃ Fe ₅ O ₁₂)					K _{1j} Eu	K _{1j} Sm
			A ₀ 10 ⁻¹²	λ ₁₁₁ 10 ⁻⁶	λ ₁₀₀ 10 ⁻¹⁰	λ ₁₀₀ Oe/sec	λ ₁₀₀		
Sm	1675	578	12.529	-8.50	21.00	12.00	0.00	0.00	
Eu	1172	666	12.497	1.80	21.00	2.10	0.00	0.00	
Gd	84	564	12.470	-3.10	0.00	0.52	0.00	0.00	
Y	1757	533	12.375	-2.40	-1.40	0.52	1.00	3.35	
Lu	1815	549	12.283	-2.40	-1.40	0.52	10.50	14.00	
Tm	1397	549	12.322	-5.20	1.40	1.20	5.00	10.00	
Dy	376	563	12.405	-5.90	-12.80	26.00	0.00	0.00	
Tb	200	566	12.436	12.00	-3.50	48.00	0.00	0.00	
Ho	880	553	12.374	-4.00	-3.40	42.00	0.00	0.00	
Yb	1560	546	12.302	-4.50	1.40	4.20	0.00	0.00	
Er	1240	566	12.346	-4.90	2.00	7.00	0.00	0.00	
Bi	2170	--	12.621	-1.50	-2.20	1.00	0.00	0.00	

표 1. 순수 희토류 가넷 특성

Table 1. Pure Rare - Earth Garnet properties

$$\xi'_{mixed} = \sum \xi_{RE} X_{RE} / 3.0 \quad (5)$$

여기서 E 는 Property, RE 는 희토류 금속의 Property, X 는 희토류 구성물의 단위구조식 당 함유량이다.

Magnetostriction 계수(111 과 100), Magnetization, Damping 들은 비례방형에 의해서 Exchange

에너지 계수를 계산하여 구해진다. 철은 Octahedral 과 Tetrahedral site 에 분포되어 있는데 Exchange 계수는 철 원소의 site 번호도로부터 계산된다. Ge는 98% Tetrahedral site 에, Sm 은 100% Octahedral, Ga는 90% Tetrahedral, 10% Octahedral site 에 분포되는 것으로 가정한다. Exchange 계수는 식 (2) 에 의해서 결정된다.

$$A [10^{-7}] = 3.7 - 1.7X_{tetrahedral} - 3.9X_{octahedral} \quad (6)$$

$$\xi'_{mixed} = \xi'_{mixed} \times (A[10^{-7}]/3.7) \quad (7)$$

식 (7)에서의 ξ' 는 식 (5)에서, A 는 식 (6)에서 구할 수 있다. GCG ({Gd3} {Ga5} {O12}) 의 Lattice 간격은 12.384 Å 이다. Iron Garnet Lattice Mismatch 는 식 (5)에 의해서 weight 를 가하는 방법을 이용하여 계산된다. Iron site 가 Ga, Ge 으로 치환된 lattice 상수의 변화는 식 (8) 와 (9) 에 의해 구해진다.

$$\Delta a_{iron-sites} = [0.01352 \cdot X_{Ga} - 0.001083 \cdot X_{Ge}^2] + [0.008917 \cdot X_{Ge} - 0.012197 \cdot X_{Ge}^2] \quad (8)$$

$$\Delta a = 12.3764 + \Delta a_{iron-sites} + [(a_{RE} - 12.376) X_{RE} / 3.0] \quad (9)$$

식 (8) 와 (9) 는 출판된 Data 값으로부터 Curve Fitting에 의해 구해진 식이다.

여기서 RE는 순수한 희토류 garnet 의 Lattice 간격이다. 결정성장 에 의한 Anisotropy 는 작은 이온과 큰 이온의 상호관계에 의한 pair ordering model 을 이용하여 계산한다. [7] 계수 Kij 는 각각의 희토류에 의한 Anisotropy 를 나타낸다. (Kg = ∑ Kij * Xi * Xj) Sm 과 Eu 와 다른 희토류 원소에 의한 Anisotropy 는 pair ordering model 로 정확히 예측된다. 그러나 Bi 의 Anisotropy 는 크고 작은 이온 모델을 사용하여 설명할 수 없다. 왜냐하면 Bi 의 총쌍에 직접적으로 비례하기 때문이다. Lattice Mismatch 와 Magnetostriction 계수를 이용하여 Stress 에 의한 Anisotropy 를 계산할 수 있으며 결정 성장에 의한 Anisotropy 와 Stress 에 의한 Anisotropy 의 합이 총 Uniaxial Anisotropy (Ku) 이다. Q 와 비틀림이 주어지면 필요한 Ku 와 4π Ms 를 다음 두 식으로부터 구할 수 있다.

$$Q = Ku / 2\pi Ms^2 \quad (10)$$

$$l = 16\pi (A Ku) / (4\pi Ms) = (\text{비틀림}) / 9 \quad (11)$$

여기서 l 은 불질의 특성 길이이다. 본 모델은 Q 값과 비틀림 및 박막구성 원소들이 주어지면 컴퓨터로 박막의 제반 특성들을 시뮬레이션하여 주어진 조건에 적합한 박막구성 결과를 알려준다.

III. 실험 및 고찰

가넷 필름에 대한 각각의 Parameter 들을 효율적으로 컴퓨터 시뮬레이션 하기 위하여 FACCAL 로서 프로그램을 작성하였다.

이 프로그램은 비분직경과 0가 주어지면 Exchange Constant, Saturation Magnetization, Uniaxial Anisotropy, Damping 값을 구하여 Bubble 속도와 Mobility 그리고 Gilbert damping 값을 계산한다. 이 시뮬레이션 프로그램의 Flow Chart는 그림1과 같다.

표2는 Bi, Dy, Sm, Lu, Y 를 희토류 원소로 사용하고 Ga 으로 Fe Site 를 비석하였을 때 주어진 조건들 ($Q=1.5, d=0.5\mu m$) 을 만족하는 동적 특성 Uw, a, Vo 를 본 프로그램으로 시뮬레이션한 결과이다. 사용자는 얻어진 동적 특성들 중 가장 만족스러운 결과를 제공하는 막막구성 원소 조성비를 사용하여 실제 막막을 성장하게 된다.

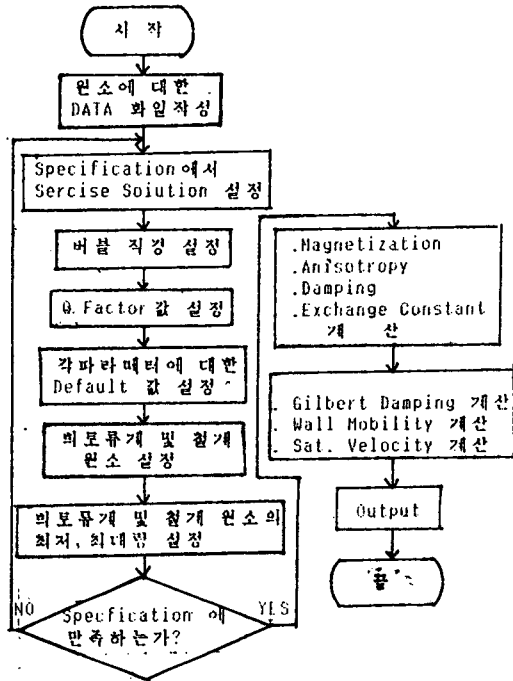


그림1. 가넷 막막 시뮬레이션 흐름도
Fig 1. Flow chart of the garnet film simulation

IV. 결론

본 논문에서 GGG 기반위에 LFE 로 지기 가넷 필름을 성장시키는데 있어서, 각종 응용에 가장 적합한 가넷 필름을 찾기 위하여 동적 특성을 컴퓨터를 이용하여 구성성분비율 시뮬레이션 하였다. 본 시뮬레이션에 의해 원하는 특성을 가진 막막을 성장하는데 필요한 설계, 성장, 측정의 반복 회수를 감소시켜 시간과 재료의 절약에 가져오리라 기대된다.

User requirements:
Bubble diameter: 0.50microns, "Q" value:1.50
Computed requirements:
Film thickness: 0.60microns, "q" value:0.06
Required μpiMs : 1341.06, required Ku: 10.5
Assuming exchange =3.7
Calculated results:

Composition									
	damping	Alpha	Uw	Vo					
	[E-7]	[0e/G]	[Ca/S*0e]	[Ca/S]					
Bi0.20	Dy0.70	Sm0.20	Lu0.90	Y 1.00	Fe4.07	Ga0.13	012		
					7.263	0.0101	204.747	3211.947	
Bi0.20	Dy0.70	Sm0.20	Lu1.00	Y 0.90	Fe4.87	Ga0.13	012		
					7.263	0.0101	209.710	3289.792	
Bi0.20	Dy0.70	Sm0.20	Lu1.10	Y 0.80	Fe4.87	Ga0.13	012		
					7.263	0.0101	215.036	3373.346	
Bi0.20	Dy0.70	Sm0.20	Lu1.20	Y 0.70	Fe4.87	Ga0.13	012		
					7.263	0.0101	220.768	3463.268	
Bi0.20	Dy0.70	Sm0.20	Lu1.30	Y 0.60	Fe4.87	Ga0.13	012		
					7.263	0.0101	226.972	3560.586	
Bi0.20	Dy0.70	Sm0.20	Lu1.40	Y 0.50	Fe4.86	Ga0.14	012		
					7.263	0.0101	234.554	3679.538	
Bi0.20	Dy0.70	Sm0.20	Lu1.50	Y 0.40	Fe4.86	Ga0.14	012		
					7.263	0.0101	241.991	3796.200	
Bi0.20	Dy0.80	Sm0.20	Lu0.80	Y 1.00	Fe4.92	Ga0.08	012		
					8.112	0.0111	177.336	3107.272	
Bi0.20	Dy0.80	Sm0.20	Lu0.90	Y 0.90	Fe4.92	Ga0.08	012		
					8.112	0.0111	181.885	3186.981	
Bi0.20	Dy0.80	Sm0.20	Lu1.00	Y 0.80	Fe4.91	Ga0.09	012		
					8.112	0.0111	187.354	3282.809	
Bi0.20	Dy0.90	Sm0.20	Lu1.50	Y 0.20	Fe4.95	Ga0.05	012		
					8.361	0.0122	201.676	3903.740	
Bi0.20	Dy1.00	Sm0.20	Lu1.00	Y 0.60	Fe5.00	Ga0.00	012		
					9.811	0.0132	152.286	3227.109	
Bi0.30	Dy0.70	Sm0.20	Lu0.80	Y 1.00	Fe4.86	Ga0.14	012		
					7.279	0.0102	175.541	2259.835	

표2. $(\text{BiDySmLuY})_3(\text{FeGa})_5(\text{O})_{12}$ 원소들의 컴퓨터 분석
Table 2. Computer Analysis of $(\text{BiDySmLuY})_3(\text{FeGa})_5(\text{O})_{12}$ Materials

참고 문헌

- [1] Robert.O.Campbell, "Magnetic Bubble Material with Isotropic Magnetostriction", Carnegie-Mellon Univ. 1985
- [2] 김길상, 반도체, 재료 및 부품 연구회 CAD 연구회 합동 발표회 pp.172, 1988, 전자공학회
- [3] A.H. Eschenfelder, Magnetic Bubble Technology, N.Y. pp.195-203
- [4] James W.N, "Bubble Domain Memory Materials" IEEE Trans. MAG-12, pp.327-345, 1976
- [5] R.C. Leecraw, J.APPL.Phys.vol.36, pp.901-905, 1965
- [6] E.B. Moore, J.APPL.Phys.vol.49, pp.1879-1881, 1965
- [7] Andreu H. Eschenfelder, J.APPL.Phys.vol.49,